國立台北大學資訊工程學系專題報告

SET! 桌遊之人機互動電腦視覺智慧辨識

專題組員:莊于萱、王乙如、謝勻詒、林鈺璇

專題編號:ntpucsie-103-006

執行期間:103年9月至104年6月

1. 摘要

影像辨識在電腦圖學的領域已發 展了許多年,有許多方面的應用,例 如車牌辨識、人臉辨識等都有非常多 的研究。而桌上型遊戲是一種具有高 互動性並兼具腦力益智的休閒娛樂, 若能將電腦辨識與桌上型遊戲結合, 可帶來另一種全新的遊戲體驗。本計 劃以桌上型卡牌遊戲-SET 為研究對 象,利用 Webcam 擷取桌上卡牌影像, 經電腦做即時辨識圖像的顏色、形 狀、個數和內含物,運用對比度的調 整和 Otsu 演算法動態尋找最佳的二值 化閥值,以解決光線造成圖像二值化 後的破損,利用 Connected Component 演算法判斷桌上卡牌的個數及卡牌內 的圖像個數,且運用 HSV 以辨識圖像 的顏色。除此之外,建立卡牌資料庫 及邊緣偵測的方式以判斷圖像的形狀 及內含物,最後結合遊戲規則演算 法,實現電腦與玩家面對面的對戰互 動。

2. 簡介

我們看到美國益智節目 jeopardy 的問答比賽中,IBM 所設計的電腦"華 生"一舉擊敗了前兩屆的問答冠軍拿 下第一名,而在此之前 IBM 設計的另 外一台電腦"深藍"也曾在電視上打敗 全球西洋棋冠軍,我們希望也能藉由 影像的辨識,寫出一個程式能讓電腦 與我們互動遊戲、增加趣味性。

而影像辨識的過程中往往有許多 外在的因素干擾,影響辨識結果的正 確性,例如:光線、角度、距離等, 故影像的前置處理是辨識的關鍵,本 計劃著重於影像雜訊的去除及圖像的 特徵顯現及讓電腦程式實現遊戲規則 的邏輯,來達成對戰的目標。

3. 專題進行方式

3.1 系統情境概述

本計畫所需的主要硬體設備為一台電腦及一台攝影機(Webcam)。 Webcam 以支架懸架於桌遊卡牌放置台上約50公分處,垂直照射桌面,桌面以黑布為底,以突顯白底的卡牌(如圖1)。以及五個按鈕連接 Makey Makey,以實現玩家彼此間的搶答。



圖 1:硬體架構示意圖

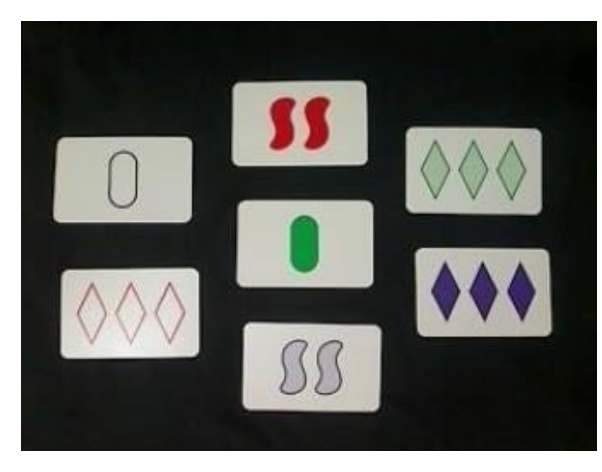


圖 2: 攝影機擷取桌上卡牌之畫面

3.2 系統設計流程

本計劃卡牌辨識流程如圖 3。首 先,利用 webcam 捕捉桌面上卡牌影 像,並開始進行辨識卡牌步驟。辨識 第一步驟,先將影像中所的有卡牌個 別擷取出來,第二步驟,辨識個別卡 牌内的圖形如圖 2,依照顏色(紅、綠、 紫)、個數(一個、兩個、三個)、形 狀(橢圓形、菱形、曲形)、填充(空 心、斜線、實心)個別辨識,故共有 3x3x3x3=81 種不同的卡牌。辨識步驟 完成後,再將個別卡牌的圖形資訊傳 入遊戲規則演算法,進行配對。若有 找出 set 配對,便開始遊戲,讓玩家開 始搶答:若無 set 配對,則告知發牌者補 牌,並回到 webcam 捕捉桌面上卡牌影 像步驟。

本計劃的遊戲規則流程圖如圖 4。首先,四位玩家須背對桌子就位,發牌員會在桌面上發放 12 張卡牌,放 完後裁判在每一回合開始前先選擇電 腦玩家強度,(即電腦玩家的反應時間),選擇完畢裁判按下 START 鍵,開始後玩家即可轉身開始找尋 SET 組合。有兩種情況,一則若玩家發現 SET 組合,可按下搶答鈕,電腦會朗讀該

玩家的名字,玩家可將此 SET 組從桌 面拿起,裁判按下 CHECK 鈕後,電腦 會進行檢查 SET 牌組是否正確,若正 確則該玩家獲得一分,且發牌員必須 於桌面補上三張新的卡牌,若發現不 正確,則該玩家須把三張卡牌放回桌 面上,且電腦會使該玩家的按鈕再接 下來的兩回合失效,使該玩家無法進 行搶答。另一種情況是在設定的時間 内若無玩家搶答,電腦玩家也會自行 搶答,在螢幕上將找到的 SET 組以紅 框圈起,發牌員必須把電腦玩家找到 的 SET 組拿起並補上新的三張牌。此 時一回合即結束,開始新的一回合, 依此規則進行下去,幾回合後,當卡 牌庫的卡牌發完時,遊戲即結束,裁

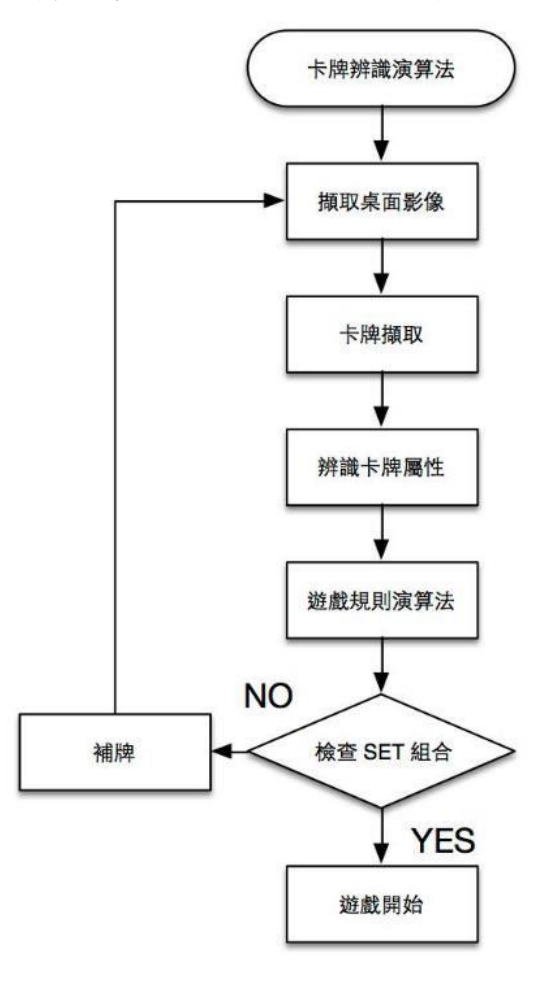


圖 3: 卡牌辨識流程圖

判按下 END 鍵後,電腦將依據各位玩家得分,選出得分最高者,並宣告勝利者。

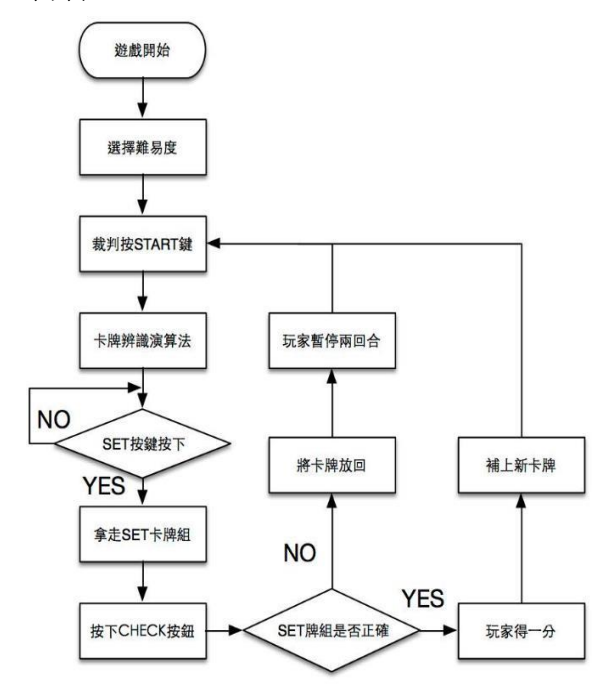


圖 4: 遊戲規則流程圖

3.3 Makey Makey

在環境設備部分我們還運用到了makey makey,藉由 makey makey 可連接導電的東西,使它成為相對應鍵盤或觸控板。在我們的桌上型辨識桌遊部分,我們將五個按鈕與 makey makey 作連接,當玩家按下搶答鈕時,經由makey makey 傳訊號至電腦端,再以鍵盤事件可判斷是哪位玩家按下了搶答鈕,或是裁判按下了check鈕。例如:玩家的搶答鈕相對應至鍵盤的 w、a、s、d 鍵,而 check 鈕則相對應至 f 鍵。

3.4 擷取桌面上各個卡牌

將初始影像灰階化再調整影像的對比度[1-2],以避免卡牌反光可能造成二值化時的圖形破損[3-4]。接著利用 Otsu[5-6]自動尋找二值化閥值法,

將影像二值化。根據:

$$\sigma_b^2 = \omega_0(\mu_0 - \mu)^2 + \omega_1(\mu_1 - \mu)^2$$
 (1)

所算出的最大值即是我們所需的二值 化閥值,ω為第一群的機率值、μω為 第一群的灰階平均值、ω」為第二群的 機率值、μι為第二群的灰階平均值、

μ 為整個分布的灰階平均值、 $σ_b^2$ 為群間變異數變異數[7-9]。

最後利用 8-ways connected component 將卡牌 label 標記出來 [10-12],如圖 5。

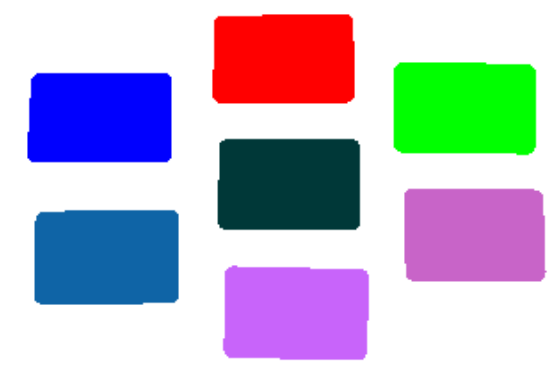


圖 5: 將不同 label 的 pixel 以不同

顏色顯現出來

最後,依照相同 label 的 pixel 將 卡牌的原始影像擷取出來[13-14],但 卡牌可能會放置歪斜,故須先做卡牌 角度的調整,如圖 6。



圖 6: 調整所截取出卡牌的角度

此外,原始影像可能受光線影響,因此卡牌的背景不一定為全白色,為了不影響辨識卡牌的圖形,必須將圖形以外的背景全淹成白色。而將背景淹成白色的方法也是利用 Otsu自動尋找閥值的方法,若 pixel 值小於閥值,則變為白色;若 pixel 值大於閥值,則保持原色[15],如圖 7。

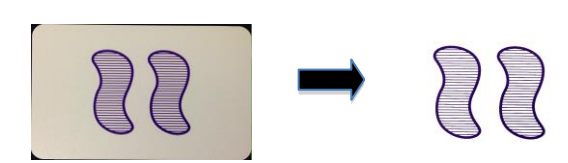


圖 7: 將所截取出卡牌的背景變為全白

3.5 辨識卡牌圖形之顏色、個數、形狀 及填充

辨識顏色方面,首先必須先將RGB轉為HSV,因R、G、B三個資料的關聯性高,很難明確判斷出顏色之間的差異,利用HSV方法辨識,可更清楚顯現卡牌的色相、亮度,而飽合度對於顏色改變較無影響力,因此我們藉由H、S來辨識顏色,如此一來,辨識不僅變得較為方便,正確性也會提高[16-17]。

辨識個數方面,利用與『4.3 擷取 桌面上各個卡牌』相同之

8-waysconnected component 方法, label 出圖形的個數,並記錄每張卡牌的標記數,及為圖形的個數,並將圖形擷取出來,如圖 8。



圖 8: 將卡牌內的圖形擷取出來

辨識形狀方面,先建立卡牌資料庫如圖 9,利用擷取出來的圖形與資料庫的圖形皆二值化後比對,將兩張圖重疊,將 pixel 的值相減,以判斷形狀與資料庫何者相近,及為何種形狀,如圖 10。



圖 9: 形狀資料庫



圖 10: 擷取出來的圖形與資料庫重疊

比對

辨識填充方面,再所擷取出來的圖形的圖形中心寬與高各 1/3 的區塊 與資料庫比對,若為空心,區塊內的 黑色 pixel 個數為 0,斜線次多,實心 最多,如圖 11。但若用此方法,當斜 線的卡牌被光線照射所導致破損,可 能會導致判斷為空心,故尚須利用邊 緣偵測,將圖形內的斜線凸顯出來, 以區別填充為空心或斜線,如圖 12。

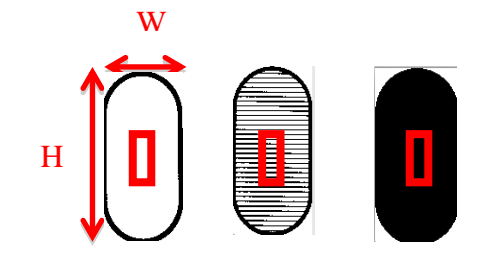


圖 11: 圖形中心寬、高各 1/3 的

區塊



圖 12:邊緣偵測的結果

3.5 遊戲規則演算法

3.5.1 SET 遊戲規則

若出現三張牌的顏色皆不同、形 狀皆不同、個數皆不同、填充皆不同, 就為一個『set』,如圖 13。

- i. 將 81 張牌洗混為牌庫,翻出 12 張牌放置桌面上。
- ii. 每當玩家發現一組 set,他必須大喊"set"(此時所有玩家必須暫停),並把 set 組合的三張牌從桌面上挑出,便獲得1分,再從牌庫發3張補到桌面上。
- iii. 若玩家挑錯 set 組合,則扣 1 分, 並將挑錯的牌歸回桌面上(原 處)。
- iv. 若桌面上所有牌都無法構成 set 組合,則從牌庫發新的 3 張牌補到桌面上(共 15 張),當下次發現set 時不再補 3 張牌,使桌面上維持 12 張牌。



圖 13: set 範例

3.5.2 遊戲規則基礎演算法

基礎演算法致力於以最快速找出 set 組合,即為「最快解」。在此定義卡 牌的"屬性"有:紅色、紫色、綠色、 橢圓、菱形、曲形、一個、兩個、三 個、空心、斜線、實心,共有 12 種屬 性。

首先,統計桌上所有卡牌的屬性,將屬性最少的卡牌先鎖定為 set 組合所要找的第一張,例如(如圖 14),桌上為紅色屬性的卡牌只有 1 張,其他 11 種屬性皆為 2 張以上,故紅色屬性為最少,將有紅色屬性的卡牌當作所要找的第一張,若此張無法搭配其他卡牌構成 set 組合,則其他卡牌也無法構成 set 組合,無需繼續搜尋。

搜尋構成 set 組合的第二張卡牌, 由與第一張卡牌的屬性完全不同的卡 牌來鎖定,檢查是否在桌面上,例如, 若鎖定紅色、菱形、2個、斜線這張卡 牌為第一張,則第二張只需搜尋如表 1,此16種卡牌是否有在桌上即可。 而當搜尋構成 set 組合的第三張卡牌 時,發現與第一張和第二張的屬性皆 不同的卡牌在搜尋第二張時已搜索 過,故原搜尋第二張的方法(搜尋16 種卡牌)可改成先搜尋8種卡牌即可, 如表 2,再針對第二張有在桌面上的卡 牌,搜索第三張是否也在桌面上即 可,此方法即為最快解。而在玩家與 電腦對戰時,電腦所顯示的即為最佳 解,是人腦無法快速找到的 set 組合。

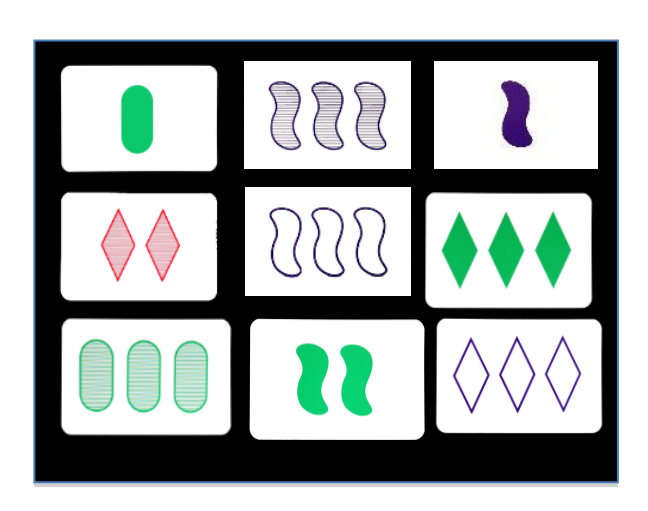


圖 14 桌面上的卡牌

第一張	第二張	第三張
紅菱2斜	綠橢1空	紫曲3實
	綠橢1實	紫曲3空
	綠橢3空	
	綠橢3實	
	綠曲1空	
	綠曲1實	
	綠曲3空	
	綠曲3實	
	紫橢1空	
	紫橢1實	
	紫橢3空	
	紫橢3實	
	紫曲1空	
	紫曲1實	
	紫曲3空	
	紫曲3實	

表 1

3.5.3 遊戲規則進階演算法

進階演算法致力於找出可使其他 set 組合無法成立之組合,即為「最佳 解」。如圖 15,若桌面上有此 3 種組合 (A、B、C),B 組合中所出現的牌在 其他組合皆有出現(紅菱 2 空、綠橢 1 實),故將 B 組合的卡牌挑出,使其他 組合無法成立,B 組合即為最佳解。

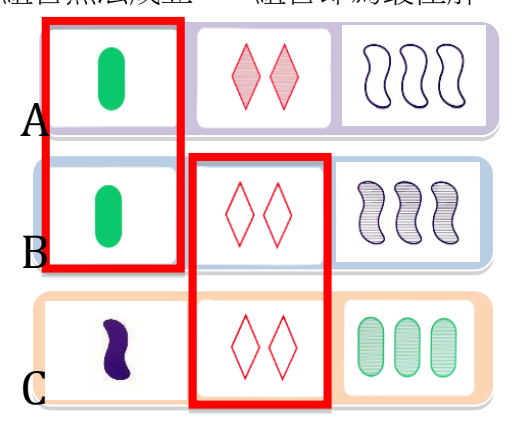
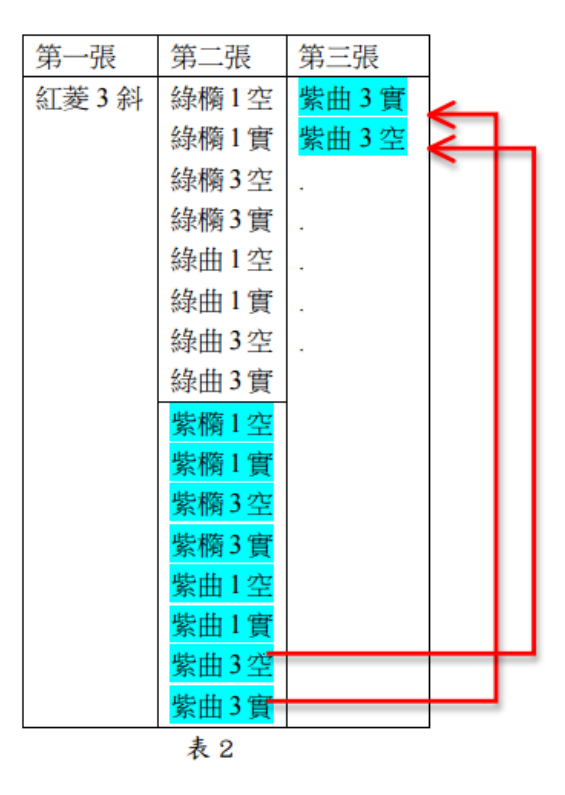


圖 15



4. 主要成果與評估

4.1 具體成效說明

本專題成果分成了兩次測試,第 一次測試為程式辨識卡牌的速度;第 二次辨識為辨識的正確率。

第一次測試測試了三十次,每次 以 12 張卡牌為單位,共測試了 360 張 卡牌。 測試速度以架在桌上的 webcame 拍下照片,電腦辨識先做圖 像的前置處理,角度的校正和對比度 的調整;之後辨識 12 張卡牌擁有的四 種屬性,顏色、個數、形狀、內容, 再放入遊戲規則的演算法中確認是否 有無 set 為一個單位時間,三十次測試 的平均速度是 4.8535 秒。 第二次測試 以牌的四種屬性為基準,分成了四種 屬性的準確率來呈現結果。總共測試 了 400 張卡牌。 第一部分是顏色的準 確率,紅色的卡牌有128張,卡牌測 試的正確率為99.22%;綠色的卡牌有 136 張,卡牌測試的正確率為 100%; 紫色的卡牌有136張,卡牌測試的正

確率為 97.80%。我們測試的環境變數 是光源強度。在不同亮度的光源測試 下,測試的環境會因為光本身的顏色 而受影響,而影響到卡牌的辨識;不 同光的強度的照射也會影響卡牌顏色 辨識的正確率。

第二部分卡牌內圖案個數的正確 率,個數是以 connected component and label 的方法來判斷,在 400 張卡牌的 測試下,個數一個的卡牌有135張, 測試正確率為100%;兩個的卡牌有 132 張,測試正確率為 100%;三個的 卡牌有 133 張,測試正確率為 100%。 第三部分是形狀的準確率,形狀有菱 形,橢圓和曲線。菱形有 139 張,辨 識準確率為100%,判斷正確最高;曲 線有 134 張,辨識準確率為 97.01%; 橢圓有 127 張,辨識準確率為 99.21%;三種形狀分別因為光線的因 素所以會誤判,如果光線太強,導致 牌有稍微的曝光, 曲形會被誤判成橢 圓,橢圓容易會誤判成曲形。 第四部 分是内容辨識的準確率,內容分為空 心、實心和斜線。 内容是空心卡牌的 張數有 133 張,辨識的準確率是 99.24%;斜線卡牌的張數有 130 張, 辨識的準確率是97.69%;內容是實心 卡牌的張數有137張,辨識的準確率 是98.54%。影響最大的因素是光線, 光線太強如果造成卡牌的曝光,造成 圖形的缺陷,會導致斜線、空心、實 心内容的誤判。

4.2 預期與實際成效之差距

目前我們已可以穩定進行多輪的 SET遊戲,但是還是有可能因為光源 的不同造成電腦誤判的情況發生。客 觀評估下來,我們的辨識率在適當的 光源下是有一定的正確性,所以良好的光照是進行遊戲不可或缺的條件。

4.3 未來可能之擴展方向

在未來的部分,由於我們的遊戲 是電腦跟玩家互動的裝置,未來希望 可以發展成AR擴增實境

(Argumented Reality)。例如可以藉由配戴實境頭盔,透過頭盔看向桌面,經由電腦的辨識後,桌面的卡牌變成立體的,在頭盔的畫面上顯示出計分板,也可以在畫面上加入人偶模擬人物,在 set 後做出拿牌的動作,藉由擴增實境裝置,玩家可以和電腦做更多的互動,也讓原本單純只是卡牌的桌上型遊戲更生動有趣。

5. 結語與展望

在兩個學期的專題實做經驗中, 學到了許多以前從未接觸的影像處理 技巧,也學到了非常寶貴的解決問題 的經驗、方法。從一開始確立題目、 定下專題流程的製作大綱、學習基礎 的影像辨識方法,一直到中間面對困 難嘗試許多方法解決問題,以及最後 的程式優化,每個環節都曾遇到意想 不到的困難,也學會了比預期多更多 的技能。這份專題是我們對影像辨識 結合遊戲的雛形,希望未來能學會更 多影像辨識技巧、能更嚴謹的讓程式 辨識的錯誤率下降。set 只是眾多桌遊 卡牌中的一種,在我們學會了基礎影 像辨識後,將可以更快速的應用到更 多種類的卡牌遊戲,期望未來能結合 AR 擴增實境。

6. 銘謝

這一年內,非常感謝我們的指導

教授對我們用心且有規劃的指導。教 授願意先讓我們去嘗試、思考解決辦 法,也不忘在適時的時候給予我們建 議或提醒,讓我們學會了解決問題的 方法和精神。再來要非常感謝 IMSLAB 實驗室的學長姐們,這個專題,要是 沒有學長姐們的幫助,成效也絕對大 打折扣。感謝學長姊們從我們一進實 驗室就開始幫我們上基礎的影像處理 課程、在每一次的 meeting 中一起替我 們思考問題的各種解決方法、meeting 結束後協助指導我們所不了解的部 分、關心我們的進度,總是無私的給 予我們最大的幫助。 我們非常幸運 的能跟到這間實驗室,謝謝所有幫助 過我們的老師、學長姊、同學,因為 有您們的幫助才讓我們的專題能夠順 利完成。

7. 參考文獻

- [1] G. Bradski, and A Kaehler, "Learning OpenCV: Computer vision with the OpenCV library," 2008.[2] E. Olmedo, J. De La Calleja, A.
- Benitez, M. A. Medina, and L. de P. por Computadora," Point to point processing of digital images using parallel computing," in *International Journal of Computer Science Issues*, vol. 9, no. 33, 2012, pp.3.
- [3] S. M. Pizer, E. P. Amburn, J. D. Austin, R. Cromartie, A. Geselowitz, T. Greer, B. ter Haar Romeny, J. B. Zimmerman, and K. Zuiderveld, "Adaptive histogram equalization and its variations," in *Computer vision, graphics, and image processing*, vol. 39, no. 3, 1987, pp. 355-368.

- [4] Y. T. Kim, "Contrast enhancement using brightness preserving bi-histogram equalization," in *Consumer Electronics, IEEE Transactions on,* vol. 43, no. 1, 1997, pp. 1-8.
- [5] N. Otsu, "A threshold selection method from gray-level histograms," in *Automatica*, vol. 11, no. 285-296, 1975, pp. 23-27.
- [6] X. Xu, S. Xu, L. Jin, and E. Song," Characteristic analysis of Otsu threshold and its applications," in *Pattern recognition letters*, vol. 32, no. 17, 2011, pp. 956-961.
- [7] H.F. Ng," Automatic thresholding for defect detection," in *Pattern recognition letters*, vol. 27, no. 14, 2006, pp. 1644-1649.
- [8] J. Zhang, and J. Hu," Image segmentation based on 2D Otsu method with histogram analysis," in *Computer Science and Software Engineering*, vol. 6, 2008, pp. 105-108.
- [9] R. F. Moghaddam and M. Cheriet, "AdOtsu: An adaptive and parameterless generalization of Otsu's method for document image binarization," in *Pattern Recognition*, vol. 45, no. 6, 2012, pp. 2419-2431.
 [10] L. He, Y. Chao, K. Suzuki, and K. Wu, "Fast connected-component
- no. 9, 2009, pp. 1977-1987.
 [11] K. Suzuki, I. Horiba, and N.
 Sugie, "Fast connected-component labeling based on sequential local operations in the course of forward raster scan followed by backward

labeling," in Pattern Recognition, vol. 42,

raster scan," in *Pattern Recognition, 2000. Proceedings. 15th International Conference on*, vol. 2, 2000, pp. 434-437.

[12] K. Wu, E. Otoo, and A. Shoshani, "Optimizing connected component labeling algorithms," in *Medical Imaging*, 2005, pp. 1965-1976.

- [13] J. M. Park, C. G. Looney, and H. C. Chen," Fast connected component labeling algorithm using a divide and conquer technique," 2000, pp. 373-376. [14] K. Wu, E. Otoo, and A. Shoshani,"
- Optimizing connected component labeling algorithms," 2005, pp. 1965-1976.
- [15] 陳建隆(民98年6月)。*應用改良式經驗模態分解法於消除文件影像中的不良光照現象*。碩士論文。桃園:國立中央大學資訊工程學系。
- [16] A. Ford and A. Roberts, "Colour space conversions," in *Westminster University, London*, vol. 1998, 1998, pp. 1-31.
- [17] M. Sarifuddin and R. Missaoui, "A new perceptually uniform color space with associated color similarity measure for content-based image and video retrieval," in *Proc. of ACM SIGIR 2005 Workshop on Multimedia Information Retrieval (MMIR 2005)*, 2005, pp. 1-8